

## 03 Aliasing, filtrace ve spektru

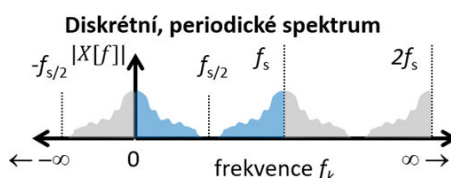
### Úvod

#### Aliasing

V případě nedodržení vzorkovacího teorému při digitalizaci signálu, kdy frekvenční komponenty vzorkovaného signálu  $f_{\max} \geq \frac{f_s}{2}$ , dojde k nejednoznačnému vzorkování. Harmonická funkce s frekvencí  $f_k$  nabývá stejných hodnot v časech vzorkování  $t_n$  jako funkce s frekvencí  $f_s - f_k$ , tj.  $x_{f_k}[t_n] = x_{f_s - f_k}[t_n]$ . Pokud tedy vzorkovaný signál obsahuje složku o frekvenci  $> \frac{f_s}{2}$ , přičítá se ke složce  $< \frac{f_s}{2}$  a dále se zrcadlí. Tomuto nežádoucímu jevu se říká **aliasing**. V technické praxi je nutno analogový signál před vzorkováním (digitalizací) frekvenčně omezit dolní propustí s mezním kmitočtem  $f_0 < \frac{f_s}{2}$ . Nedodržení vzorkovacího teorému vede ke zkreslení signálu a jeho nepoužitelnosti.

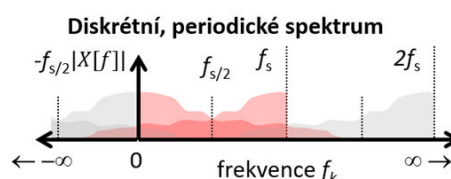
#### Vzorkovací teorém

$$f_{\max} < f_s/2$$



#### Nedodržení teorému

$$f_{\max} > f_s/2$$



Pozn.:

- V praxi se většinou volí  $f_{\max} \leq \frac{f_s}{3}$  nebo, častěji však výrazně nižší. Záleží však na mnoha okolnostech, např. na strmosti hardwarového antialiasing filtru před A/D převodníkem.
- Aliasingu se ve speciálních případech využívá úmyslně, např. v radioelektronice, kde vysokofrekvenční signál podvzorkováním dostaneme vlivem aliasingu do nízkofrekvenčního pásma (demodulace).
- Můžete se podívat na [video](#) o aliasingu.

#### Filtrace ve spektru

Filtrace je základní metodou úpravy signálu. Filtrací můžeme ponechat/zesílit určitou část frekvenčního spektra, která pro nás nese užitečnou informaci, nebo naopak potlačit frekvenční složky, které jsou neužitečné a rušivé.

Ačkoli filtrům budou věnovány samostatné přednášky a cvičení později, principiálně se bude jednat o techniky, které potlačí nežádoucí frekvenční pásma (dolní, horní, pásmová propust nebo zadrž). Spektrálně se však jedná o potlačení/odstranění frekvenčních složek v signálu.

## Nulování spektrálních čar

Ze signálu nejprve spočteme frekvenční spektrum a určíme frekvenční osu, tj. frekvence harmonických složek. Následně nalezneme harmonické složky, které chceme ze signálu odfiltrovat a změníme jejich hodnotu na nulu. Tím se harmonická složka neuplatní (odstraní) při rekonstrukci signálu inverzní Fourierovou transformací. U diskrétních signálů anesmíme zapomínat, že se frekvenční složky reálných signálů se ve spektru zrcadlí kolem  $\frac{f_s}{2}$ . Při nulování harmonických složek  $f$  tedy musíme nulovat na obou stranách spektra, tj.  $X[f] = 0$  pro  $f$  a  $f_s - f$ .

Výhodou tohoto přístupu je jednoduchost implementace, avšak nevýhod je více. Filtrace nelze provádět v reálném čase a je závislá na počtu vzorků filtrovaného signálu (počet harmonických složek odpovídá počtu vzorků signálu  $K = N$ ), tedy i frekvenčním rozlišení spektra (malé rozlišení pro malé  $N$ ). Později si ukážeme, že nulování spektrálních čar by odpovídalo ideálnímu filtru s nekonečnou strmostí, to ale v časové oblasti vede k dlouhé impulzní odezvě (zvlnění za impulzy, tranzienty, skokovými změnami). V digitálním zpracování pomocí DFT periodizujeme finitní signál, na začátku a konci signálu tedy dochází k nespojitosti a zvlnění téměř vždy.

Např. v dnešním cvičení budeme filtrovat 50 Hz, resp. úzké pásmo 49 – 51 Hz. Při malém počtu vzorků, tj. i malém spektrálním rozlišení, nemusíte dokázat filtrovat přes prostou indexaci spektrálních čar  $X(f < 49 \text{ \& } f < 51) = 0$ , protože spektrální čáry vyjdou mimo rozsah diskretních harmonických frekvencí.

## Obsah

Úvod.....	1
Aliasing.....	1
Filtrace ve spektru.....	1
Nulování spektrálních čar.....	2
Řešení:.....	2
Aliasing.....	2
Podvzorkování sinusoidy.....	2
Filtrace ve spektru.....	8
Nulování spektrálních čar.....	13
Rekonstrukce signálu:.....	15

## Řešení:

### Aliasing

#### Podvzorkování sinusoidy

Generujte harmonický průběh s pracovním kmitočtem  $f_0 = 5$  Hz a fázovým posunem  $\phi = \frac{\pi}{4}$  vzorkovaný následujícími vzorkovacími kmitočty  $f_s$  (simulujte vzorkování s rozdílnou frekvencí).

- $f_{s1} = 10 \cdot f_0 = 50$  Hz,
- $f_{s2} = 3 \cdot f_0 = 15$  Hz,

- $f_{s3} = 1,2 \cdot f_0 = 6 \text{ Hz}$ .

Průběh vygenerujte se stejnou délkou  $T = 5 \text{ s}$ .

```
t10=... % časová osa pro fs=10*f0
y10=... % signál pro fs=10*f0

t3=... % časová osa pro fs=3*f0
y3=... % signál pro fs=3*f0

t1_2=... % časová osa pro fs=1.2*f0
y1_2=... % signál pro fs=1.2*f0
```

```
f0 = 5;
phi = pi/4;
T = 5;

fs10 = 10*f0
```

```
fs10 =
50
```

```
t10 = 0:1/fs10:T-1/fs10;
y10 = sin(2*pi*f0*t10+phi);
fs3 = 3*f0
```

```
fs3 =
15
```

```
t3 = 0:1/fs3:T-1/fs3;
y3 = sin(2*pi*f0*t3+phi);

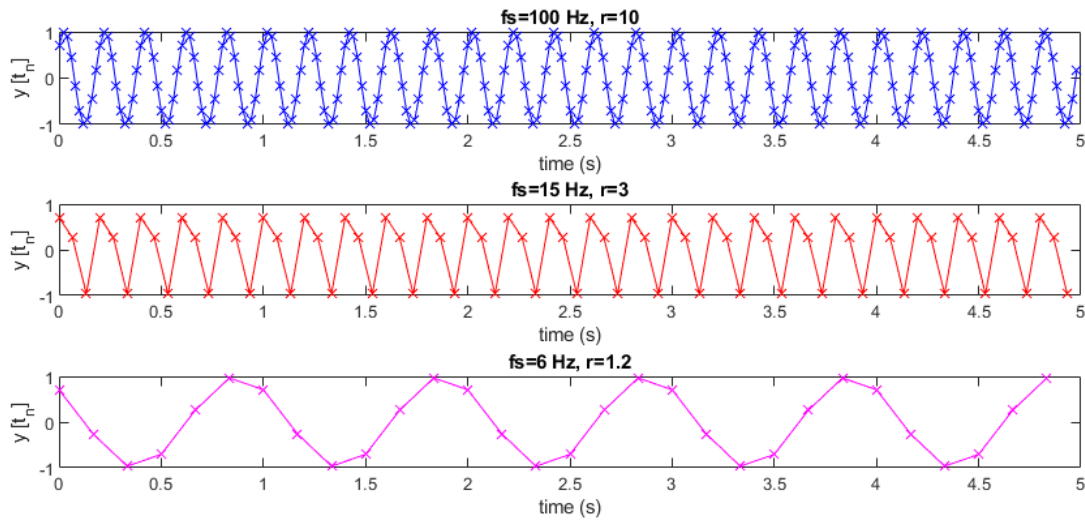
fs1_2 = 1.2*f0
```

```
fs1_2 =
6
```

```
t1_2 = 0:1/fs1_2:T-1/fs1_2;
y1_2 = sin(2*pi*f0*t1_2+phi);
```

**V subplot 3x1 zobrazte všechny signály, zvýrazněte vzorky symbolem ('x'). Popište osy, do titulku vložte hodnoty použitých  $f_s$ . Poměr kmitočtů zobrazte jako  $r=f_s/f_0$ .**

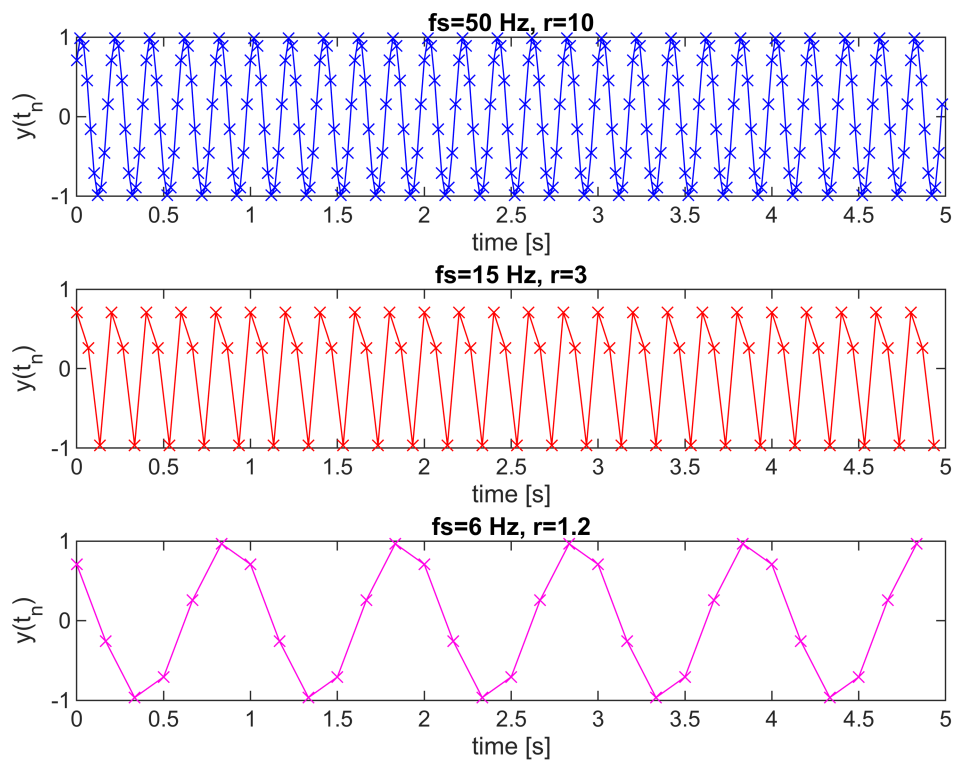
**Zobrazte harmonický signál o  $f_0$  pro různá  $f_s$  simulující splnění vzorkovacího teorému.**



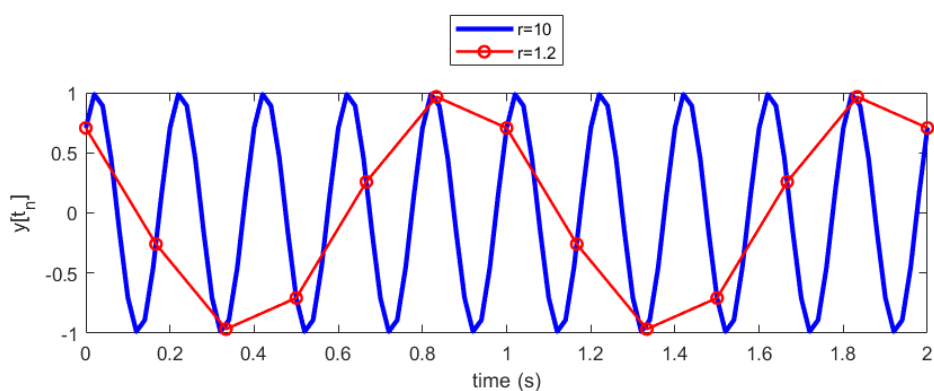
```
figure
subplot(3,1,1)
plot(t10,y10,Marker="x", color="b")
title("fs=50 Hz, r=10")
xlabel("time [s]")
ylabel("y(t_n)")

subplot(3,1,2)
plot(t3,y3, Marker="x", Color="r")
title("fs=15 Hz, r=3")
xlabel("time [s]")
ylabel("y(t_n)")

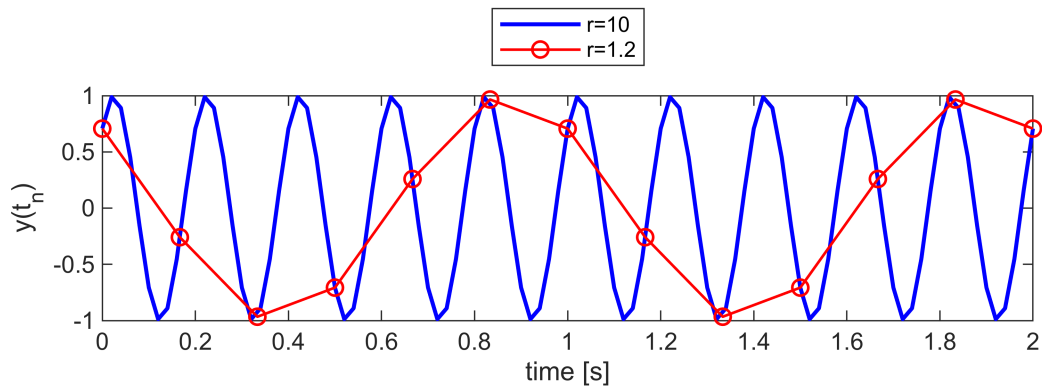
subplot(3,1,3)
plot(t1_2,y1_2, Marker="x", Color=[1 0 0.9])
title("fs=6 Hz, r=1.2")
xlabel("time [s]")
ylabel("y(t_n)")
```



Zobrazte přes sebe do jednoho grafu průběhy pro  $r=10$  a  $r=1,2$ .



```
figure('Position',[0 0 600 200])
idx = t10<=2;
idx2 = t1_2<=2;
plot(t10(idx),y10(idx),"b", LineWidth=1.5)
hold on
plot(t1_2(idx2),y1_2(idx2), Color="r", Marker="o", LineWidth=1)
hold off
legend('r=10','r=1.2',Location='northoutside')
xlabel("time [s]")
ylabel("y(t_n)")
```



Odpovězte na otázky:

- Pro který případ není splněn vzorkovací kmitočet?

pro případ kdy se  $f_s = 1.2 \cdot f_0$

- Pro vygenerovaný harmonický signál s  $f_0$  a vzorkovací kmitočet  $f_s$ , který jste napsali v předchozí odpovědi, spočítejte magnitudové spektrum a určete dominantní kmitočet  $f_0'$  na stupnici 0 až  $\frac{f_s}{2}$  Hz (tj. určete z grafu první kmitočet s nejvyšší amplitudou)

```
N = fs1_2*T;
Y = 1/N*fft(y1_2);
f = linspace(0,fs1_2-fs1_2/N,N);
disp(f(Y>0.1))
```

1 5

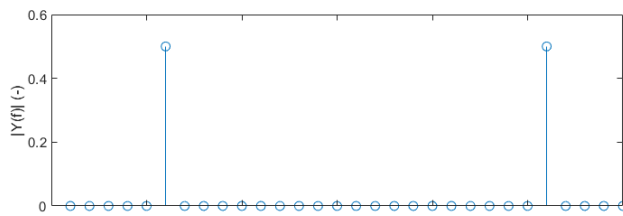
```
disp(abs(Y(f == 1)))
```

0.5000

dominantní kmitočet je  $f_0 = 1$  Hz s amplitudou 0.5

- Spočítejte teoreticky frekvenci  $f_0'$ , kam se zrcadlí  $f_0$  při nesplnění vzorkovacího teorému

$$f_0' = \frac{f_s}{2} - \text{abs}\left(\frac{f_s}{2} - f_0\right) = 3 - \text{abs}(3 - 5) = 3 - 2 = 1$$



**Doplňte frekvenční osu**

Vypočtěte teoreticky hodnotu  $f_0'$ :

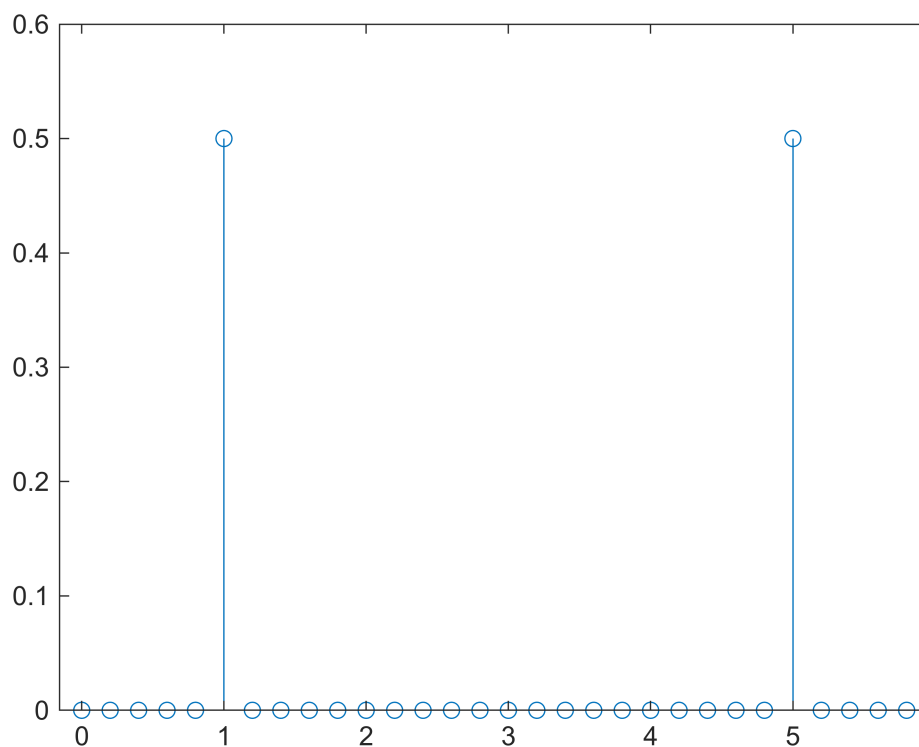
```
N = fs1_2*T;
Y = 1/N*fft(y1_2);
f = linspace(0,fs1_2-fs1_2/N,N);
disp(f(Y>0.1))
```

1 5

```
disp(abs(Y(f == 1)))
```

0.5000

```
figure
stem(f,abs(Y))
```



Odečtěte ze spektra:

$f_0' = 1$  Hz, s amplitudou  $|Y| = 0.5$

## Filtrace ve spektru

Odstraníme síťové rušení  $50 \pm 1$  Hz a jeho vyšších harmonických složek  $m \times (50 \pm 1)$ ,  $m \in \{1, 2, 3, \dots\}$ . Ve spektru nahradíme odpovídající spektrální čáru nulovou amplitudou  $X[f_k] = 0$ . Uvědomte si, že musíme nulovat spektrální čáry na obou stranách spektra, tj.  $f_a f_s - f$ . Pro rekonstrukci signálu provedeme inverzní Fourierovu transformaci.

Nejprve si vyčistíme proměnné ve workspace a zavřeme všechny figury:

```
clear all; % vymaže všechny proměnné  
close all; % zavře všechny figury
```

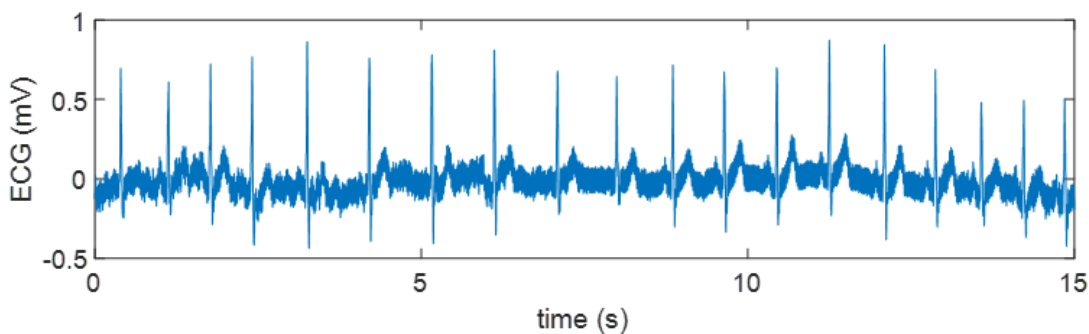
Pomocí funkce `load` si načtete signál EKG uložený v `.txt` souboru, který obsahuje časovou řadu amplitud.

```
EKG=load('ecg_hum_fs500Hz.txt');
```

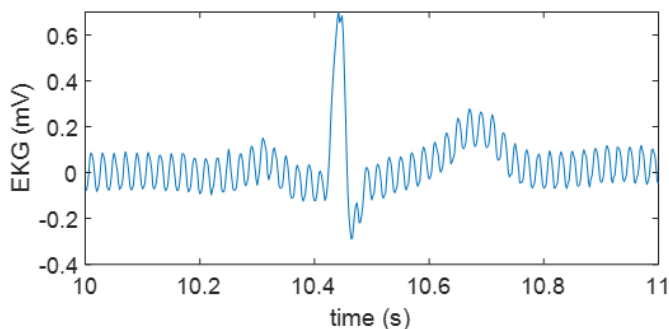
Na rozdíl od kontejneru `.mat`, textový soubor neobsahuje další metadata jako např. informace o vzorkovacím kmitočtu nebo o fyzikálních jednotkách. Vzorkovací kmitočet  $f_s$  zde vyčtete z názvu souboru. Prozradím, že měřené jednotky jsou v **mV**.

```
fs=500; % vzorkovací kmitočet
```

Ze znalosti počtu vzorků signálu a vzorkovacího kmitočtu vytvořte časovou osu.



**Detail:**

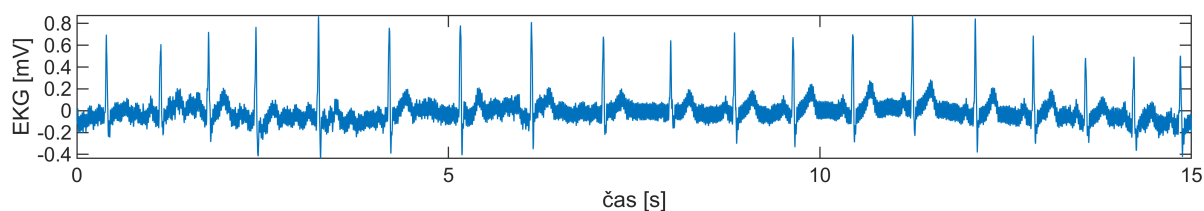




EKG signál zobrazuje elektrickou aktivitu srdce. Špičky v signálu (R-špičky) odpovídají kontrakci komor a vypuzení krve. Po přiblížení však vidíme téměř "harmonickou" složku superponovanou na signálu. Jedná se o síťové rušení 50 Hz (např. v USA by byla 60 Hz).

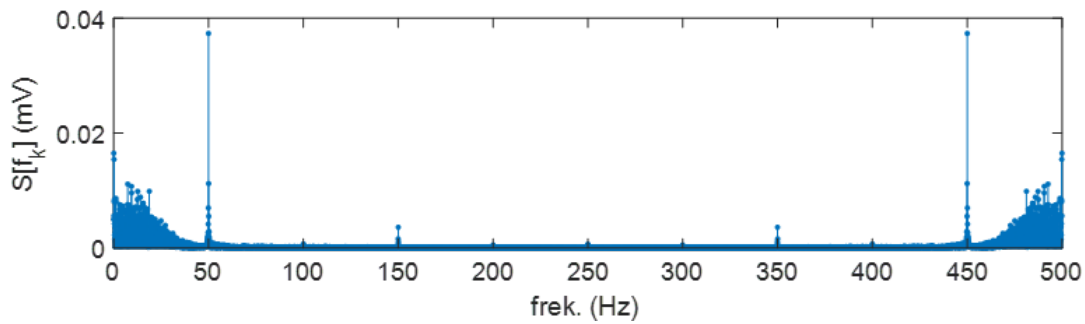
**Vykreslete EKG signál do grafu, připravte si figure(1) se subplot 5x1:**

```
N=length(EKG);  
t= 0:1/fs:N*1/fs-1/fs;      % t=...  
figure(1)  
set(gcf, 'Position', [0 0 800 700]);  
subplot(5,1,1)  
plot(t, EKG)  
axis tight  
xlabel("čas [s]")  
ylabel("EKG [mV]")
```



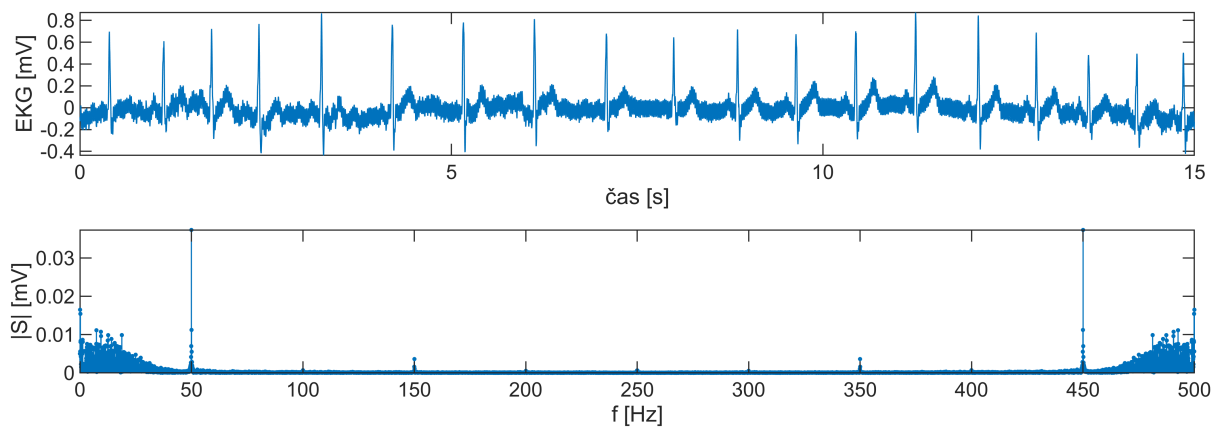
Spočítejte komplexní spektrum EKG signálu, označenou např.  $S[f_k]$ . Zobrazte absolutní spektrum  $|S[f_k]|$ , nezapomeňte spektrálním čarám přiřadit odpovídající frekvence  $f_k$  (frekvenční osu).

```
% seznamte se s grafem typu stem
stem(x,y, '.')
```



**Doplňte:**

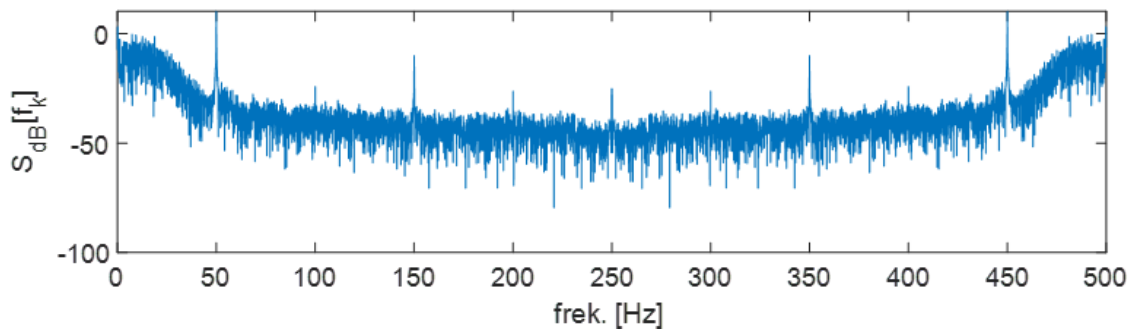
```
S = 1/N*fft(EKG);% S=...; komplexní spektrum
F = linspace(0,fs,N); % F=...; frekvenční osa
subplot(5,1,2)
set(gcf, 'Position', [0 0 800 700]);
stem(F,abs(S),'.') % zobrazení absolutního spektra
axis tight
xlabel("f [Hz]")
ylabel("|S| [mV]")
```



V absolutním spektru signálu si povšimněte, které frekvence nesou informaci ("nenulové" spektrální čáry). Pro EKG jsou to frekvence mezi 0-45 Hz. Výrazné špičky, zejména pak 50 Hz, méně pak na 100, 150, ... Hz odpovídají síťovému rušení a jeho vyšším harmonickým složkám, které se naindukovalo na kabely vedoucí od snímacích elektrod. Opět si připomeňme, že spektrum se zrcadlí kolem  $\frac{f_s}{2}$ , tj. zde 250 Hz.

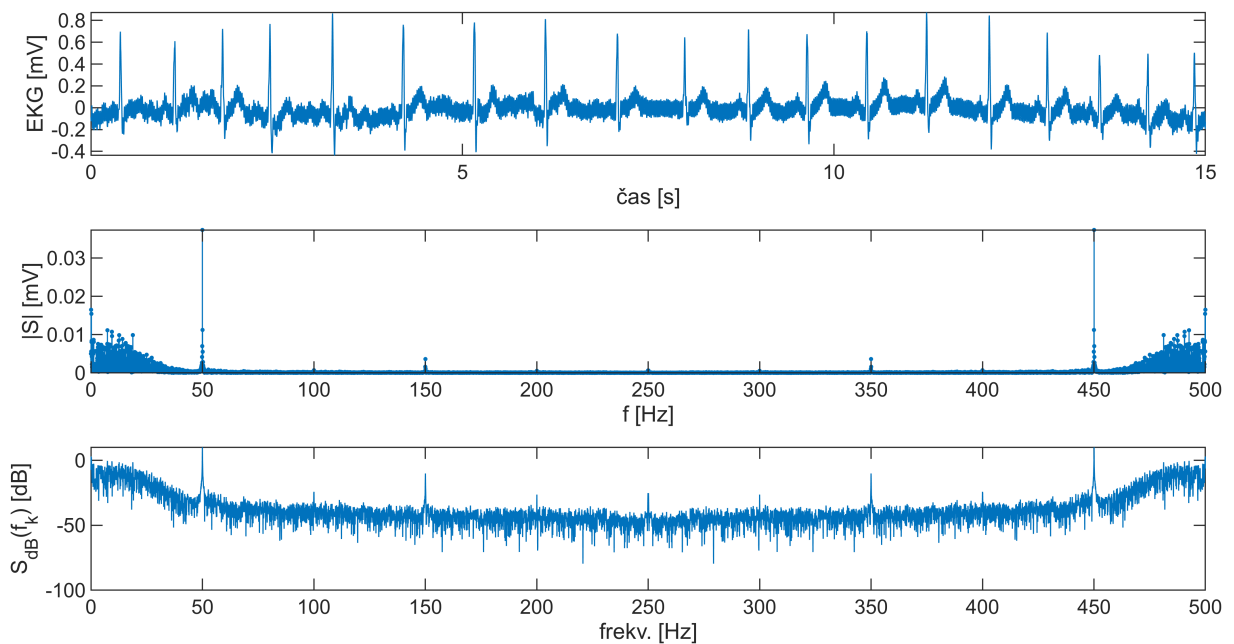
Zobrazte absolutní spektrum v dB. Jelikož hodnoty mV v dB budou nabývat záporných hodnot, funkce stem pro zobrazení není vhodná. Spokojíme se se známou funkcí plot.

$$X_{\text{dB}}[f_k] = 10 \cdot \log_{10} \left( \frac{1}{N} |X[f_k]|^2 \right)$$



**Doplňte:**

```
SdB = 10*log10(1/N*abs(fft(EKG)).^2); % SdB=... ; absolutní spektrum v dB
subplot(5,1,3)
set(gcf, 'Position', [0 0 800 700]);
plot(F,SdB)
xlabel("frekv. [Hz]")
ylabel("S_{dB}(f_k) [dB]")
```



Logaritmické zobrazení magnitudy odhalí i menší špičky ve spektru, kde je síťové rušení jasně patrné i na 100, 150, 200 a 250 Hz. ,

### Nulování spektrálních čar

Vizuálně jsme odhalily přítomnost síťového rušení v signálu (jak v časové rovině, tak i ve spektru). Najdeme tedy spektrální čáry odpovídající rušení a odstraňme je z komplexního spektra vynulováním.

```
SN=S; % komplexní spektrum si zkopírujeme do SN, kde provedeme nulování
```

Budeme na frekvenční ose hledat pozici spektrálních čar, které odpovídají hledaným násobkům 50 Hz a okolí  $\pm 1$  Hz.

```
idxL=find(F>(50-1) & F<(50+1)); % spektrální čáry 'k' pro f=(49 až 51) Hz (L-levá strana spektra <fs/2)
idxR=find(F>(fs-50-1) & F<(fs-50+1)); % spektrální čáry 'k' pro f=fs-(49 až 51) Hz (R-pravá strana spektra >fs/2)
SN(idxL)=0; % nulování spektrálních čar
SN(idxR)=0; % nulování spektrálních čar
```

Tento postup musíme opakovat pro každou vyšší harmonickou  $100 \pm 1$ ,  $150 \pm 1$ , ... ,  $250 \pm 1$  Hz. Nežli výše popsany kód kopírovat pro všechny frekvence, využijeme for cyklu:

```
% nastudujte si zápis for cyklu v MATLAB. Příklad:
f_x50=zeros(1,9); % rezervace proměnné v paměti - nulový vektor 1x9
for m=1:9 % pro každé m
    f_x50(1,m)=m*50; % na m-tou pozici vektoru uložit m-tý násobek 50
end
```

**For cyklus nulující násobky  $m \times 50 \pm 1$  Hz:**

Počet cyklů zvolte pro interval  $\left\langle 50; \frac{f_s}{2} \right\rangle$  Hz. Můžete také využít pomocného vektoru do kterého si uložíte násobky 50 Hz až po  $\frac{f_s}{2}$ . Počet cyklů určíte délkou tohoto vektoru, nebo do for tento vektor přímo vložíte:

```
% Příklad 1 -----
f50=50:50:fs/2;
for m=1:length(f50)
    % výběr frekvence: f50(m)
end

% Příklad 2 -----
f50=50:50:fs/2;
for m=f50
    % m je přímo hodnota z vektoru f50
end
```

**Realizujte nulování ve for cyklu:**

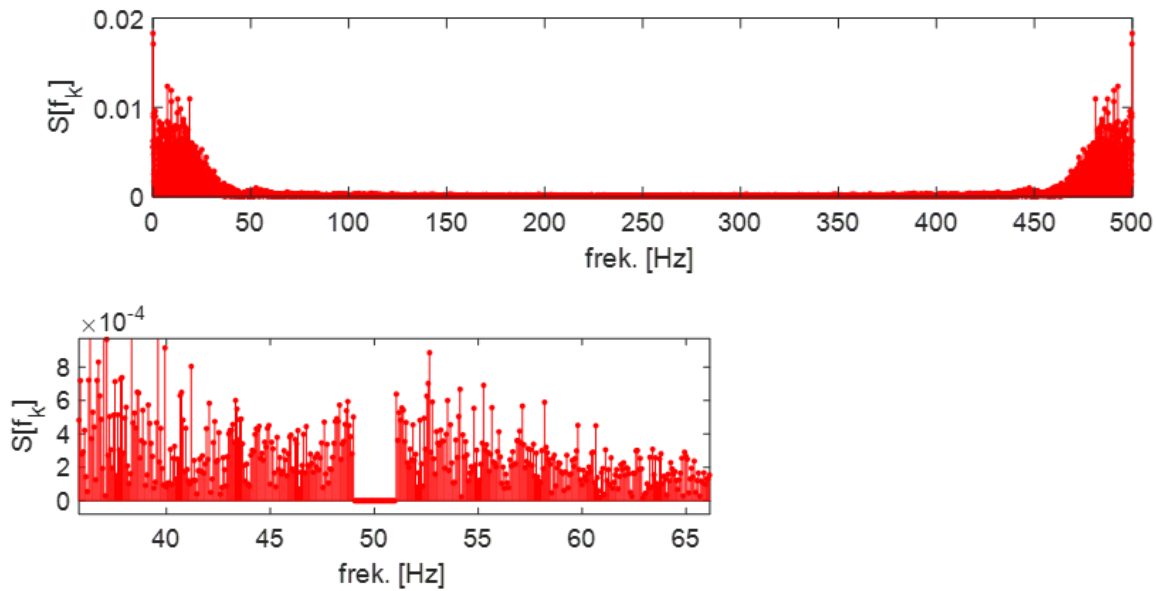
```
f50=50:50:fs/2;
for m=1:length(f50)
    SN(F >= f50(m)-1 & F <= f50(m)+1) = 0; % výběr frekvence: f50(m)
end
```

```

f50=fs/2:50:fs-50;
for m=1:length(f50)
    SN(F >= f50(m)-1 & F<= f50(m)+1) = 0;           % výběr frekvence: f50(m)
end

```

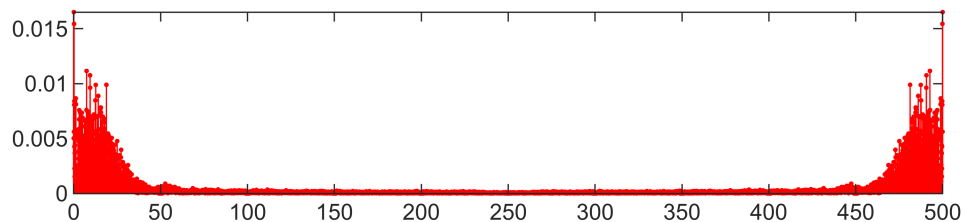
Zobrazte spektrum po nulování. Vytvořte nový figure(2) se subplot 3x1:



```

figure(2)
subplot(3,1,1)
stem(F, abs(SN),Marker=".",Color="r")           % stem
axis tight

```



Přibližte si spektrum a zkontrolujte, zda nulování provádíte správně na levé i pravé straně spektra ( $0$  až  $\frac{f_s}{2}$ ,  $\frac{f_s}{2}$  až  $f_s$ ).

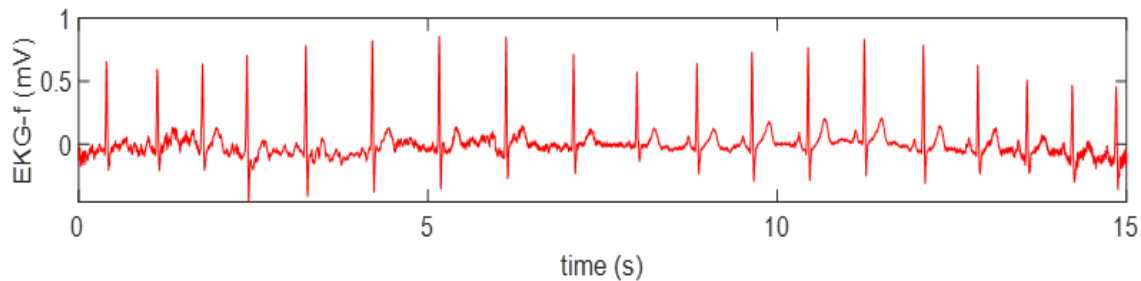
### Rekonstrukce signálu:

Z komplexního spektra s odstraněnými harmonickými složkami síťového rušení opět sestavíme signál. Použijeme inverzní rychlou Fourierovu transformaci (IFFT).

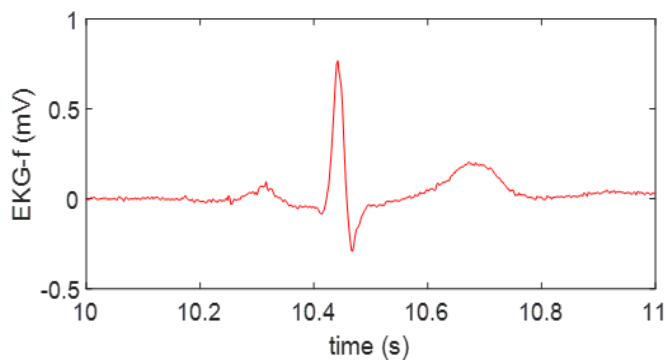
Připomeňme si, že pokud jsme normalizaci amplitudy  $\frac{1}{N}$  prováděli na straně dopředné transformace. U zpětné proto musíme výsledek vynásobit  $N$ .

```
X=(1/N)*fft(x); % DFT - komplexní spektrum X[k]
x=N*ifft(X); % IDFT - rekonstrukce signálu x[n]

x=real(x); % pouze reálná složka při numerické nepřesnosti
```

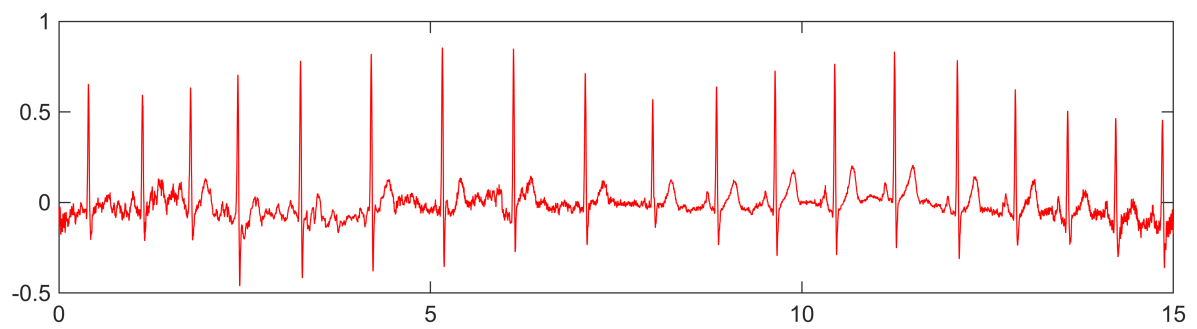


### Detail:



### Spočtete IFFT a zobrazte filtrovaný signál:

```
s = N*ifft(SN);
s = real(s);
figure
set(gcf, 'Position', [0 0 800 700]);
subplot(3,1,1)
plot(t,s,Color='r')
```



**Subjektivně popište rozdíly mezi původním EKG signálem a výsledkem filtrace ve spektru:**

Lépe se dají rozpoznat detaily, protože se signál nemění příliš rychle. U původního EKG je signál tak rozkmitaný, že po vykreslení vypadá jako tlustá čára.